

**НОВЫЕ ДАННЫЕ О ЗАВИСИМОСТИ КРИТИЧЕСКОЙ ТЕМПЕРАТУРЫ
ОТ СОДЕРЖАНИЯ КИСЛОРОДА
В СВЕРХПРОВОДЯЩЕМ СОЕДИНЕНИИ $\text{YBa}_2\text{Cu}_3\text{O}_x$**

И. В. Александров, А. Б. Быков, И. П. Зибров, И. Н. Макаренко,
О. К. Мельников, В. Н. Молчанов, Л. А. Мурадян, Д. В. Никифоров,
Л. Е. Свистов, В. И. Симонов, С. М. Чигишов, А. Я. Шапиро, С. М. Стишов

Изучены сверхпроводящие и структурные свойства монокристаллов $\text{YBa}_2\text{Cu}_3\text{O}_x$ с различным содержанием кислорода. Характер перехода в сверхпроводящее состояние свидетельствует о неоднородности распределения кислорода в образцах с $x < 7$. Отмечено нерегулярное поведение зависимости $T_c(x)$ при $x < 6,5$.

В настоящей работе сообщается об исследовании сверхпроводящих и структурных свойств соединения $\text{YBa}_2\text{Cu}_3\text{O}_x$ при различном содержании кислорода. В отличие от предшествующих работ (см., например,¹) данное исследование выполнено на монокристаллических образцах.

Монокристаллы $\text{YBa}_2\text{Cu}_3\text{O}_x$ выращивались из нестехиометрического расплава по методике². Для экспериментов было отобрано около 200 кристаллов общей массой ~ 70 мг при средних размерах $1,5 \times 1,5 \times 0,03$ мм³. Все эти кристаллы обладали тетрагональной симметрией, значения параметров элементарной ячейки исходных образцов составляли $a = 3,860$ (2) и $c = 11,81$ (1) Å. Отобранные кристаллы помещались на весы термогравиметрической установки и отжигались до постоянной массы в атмосфере кислорода при $p \approx 1$ атм и $T \approx 723$ К. Затем образцы охлаждались со скоростью ~ 1 град/мин. Увеличение массы кристаллов в процессе их насыщения кислородом соответствовало изменению концентрации $\Delta x = 0,664 \pm 0,001$. Рентгеноструктурный анализ, включающий исследование заселенности позиций атомов, позволил установить химический состав исходных и насыщенных кислородом кристаллов: $\text{YBa}_2\text{Cu}_3\text{O}_{6,24(7)}$ и $\text{YBa}_2\text{Cu}_3\text{O}_{6,97(4)}$, что находится в согласии с данными термогравиметрии. Поэтому было принято, что в случае "насыщенных" кристаллов $x = 7,0$.

Для получения образцов с промежуточным содержанием кислорода вся партия кристаллов выдерживалась при температуре 723 – 923 К в атмосфере гелия при непрерывном наблюдении за изменением массы; когда потеря массы кристаллов достигала величины, соответствующей $\Delta x = - (0,05 - 0,1)$, образцы быстро охлаждались до $T \approx 653$ К и отжигались при этой температуре в течение 2 часов. Затем из партии случайным образом отбирались 10 монокристаллов, и указанная процедура повторялась. В области $x \leq 6,4$ кислород удалялся из образцов в вакууме $\sim 1 \cdot 10^{-3}$ торр. Рентгенографический анализ случайно выбранных "пробных" монокристаллов показал, что параметры элементарной ячейки отдельных образцов практически совпадают в пределах одной партии, и следовательно эти кристаллы содержат одинаковое количество кислорода. Параметры элементарной ячейки монокристаллов определялись на двухкружном дифрактометре по положению рефлексов 200, 020 и 006.

Результаты термогравиметрического и рентгенографического исследования "пробных" кристаллов представлены на рис. 1. На этом же рисунке нанесены данные для двух "индивидуальных" кристаллов, последовательно прошедших все стадии описанной выше обработки. Заметим, что в области $x \leq 6,4$ удаление кислорода из "индивидуальных" образцов осуществлялось не в вакууме, а в токе гелия при более низкой, чем обычно, температуре. Как видно из рис. 1, это привело к расширению области существования ромбической фазы в стоп-

руну меньших значений x . Отметим еще одно важное обстоятельство. Параметры элементарной ячейки, измеренные сразу же после насыщения кристаллов кислородом, имели значения $a = 3,822(2)$; $b = 3,888(2)$; $c = 11,703(6)$. Повторные измерения, выполненные через несколько дней, показали, что параметр $c = 11,688(6)$ существенно уменьшился, значения a и b практически не изменились. Подобные релаксационные эффекты не наблюдались при $x < 7$, по-видимому, из-за "старения" образцов в процессе удаления кислорода.

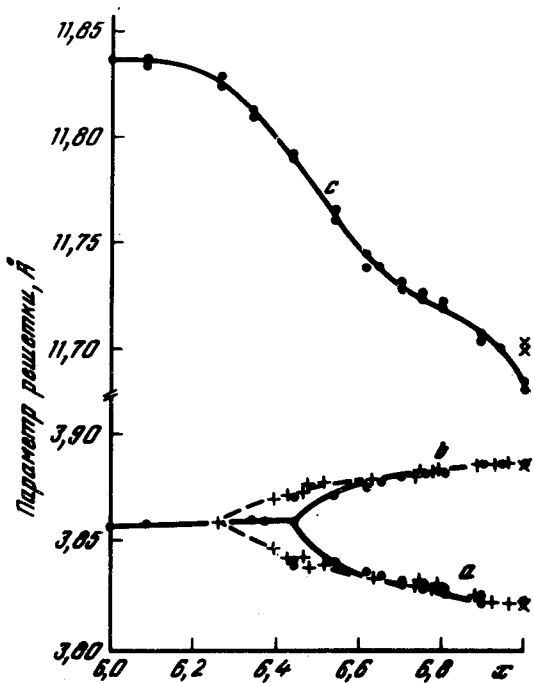


Рис. 1. Параметры элементарной ячейки монокристаллов $\text{YBa}_2\text{Cu}_3\text{O}_x$ в зависимости от концентрации кислорода x : ●, \times – результаты исследования "пробных" кристаллов; содержание кислорода устанавливалось на основании термогравиметрических данных; \times – результаты, полученные сразу же после насыщения образцов кислородом; + – данные для двух "индивидуальных" кристаллов; значения $x < 6,4$ получены путем отжига образцов в потоке гелия (см. текст); концентрация кислорода оценивалась по значениям параметра c

Сверхпроводимость монокристаллов $\text{YBa}_2\text{Cu}_3\text{O}_x$ исследовалась с помощью LC -генератора на частоте $\omega_0 \approx 10$ МГц. Введение образца в катушку индуктивности генератора приводило к сдвигу частоты $\Delta\omega$, который в случае малых размеров образца ($\Delta\omega \ll \omega_0$) связан с удельным сопротивлением последнего соотношением $\rho \sim ((\Delta\omega_0 / \Delta\omega(T)) - 1)^{1/2}$, где $\Delta\omega_0$ – максимальный сдвиг частоты, имеющий место при полном вытеснении ВЧ- поля из образца. Исследуемые кристаллы ориентировались таким образом, чтобы индуцированные в них токи текли в плоскости (001). Катушка индуктивности с образцом находилась в парах жидкого гелия, температура измерялась с помощью медь-константановой термопары. Во избежание перегрева образца ВЧ-токами генератор работал в импульсном режиме. Типичные кривые $\Delta\omega(T)$, полученные на одном и том же кристалле, изображены на рис. 2.

На рис. 3 представлены результаты определения температуры сверхпроводящего перехода T_c при одновременном исследовании 10 "пробных" кристаллов, дающие усредненную картину поведения функции $T_c(x)$, а также аналогичные данные для двух "индивидуальных" кристаллов (см. рис. 1). Как видно из рис. 3, между этими системами данных в области $6,5 < x \leq 7$ не имеется принципиальных различий. Во всей этой области кроме точки $x = 7$ сверхпроводящий переход происходит в широком интервале температур, что, по-видимому, обусловлено неоднородным распределением кислорода даже в пределах одного монокрис-

тала ^{3, 4}. В то же время следует отметить, что способ приготовления образцов оказывает заметное влияние на зависимость $T_c(x)$ при $x < 6,5$.

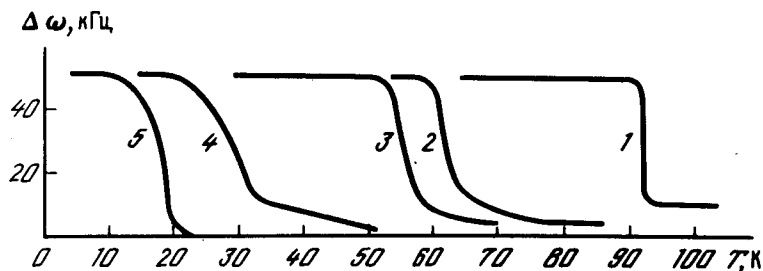


Рис. 2. Экспериментально наблюдаемая зависимость сдвига частоты $\Delta\omega$ LC-генератора при сверхпроводящем переходе в монокристаллических образцах $\text{YBa}_2\text{Cu}_3\text{O}_x$. Кривые 1 – 5: x равно соответственно 7,0; 6,77; 6,62; 6,51 и 6,41

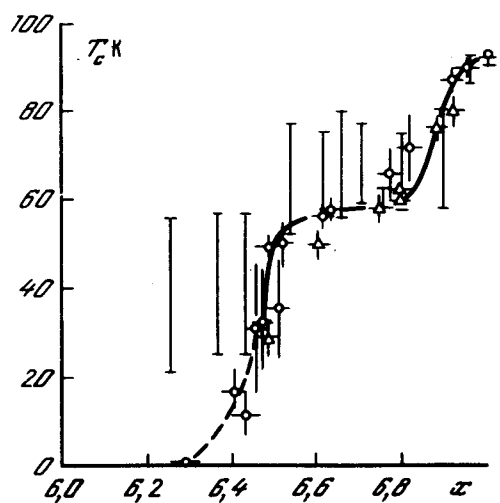


Рис. 3. Зависимость температуры сверхпроводящего перехода в монокристаллах $\text{YBa}_2\text{Cu}_3\text{O}_x$ от содержания кислорода x : I – результаты "групповых" измерений ; при $x < 6,45$ кристаллы имеют тетрагональную симметрию; \circ, \triangle – данные для "индивидуальных" кристаллов ; исследовались те же кристаллы, что и в рентгенографическом эксперименте (рис. 1); при $x < 6,45$ кристаллы сохраняют ромбическую симметрию

На основании проведенных исследований можно сделать следующие выводы:

1. Концентрация кислорода, соответствующая переходу кристаллов $\text{YBa}_2\text{Cu}_3\text{O}_x$ в тетрагональную фазу, зависит от деталей технологии получения образцов.
2. Распределение кислорода в кристаллах $\text{YBa}_2\text{Cu}_3\text{O}_x$ во всем диапазоне концентраций за исключением точки $x = 7$ при описанном способе получения образцов является крайне неоднородным, о чем свидетельствует размытый характер сверхпроводящего перехода при $x < 7$.
3. Зависимость $T_c(x)$, найденная в настоящей работе, имеет достаточно ярко выраженное плато в диапазоне $6,5 < x < 6,85$ и $T_c = 55 - 65$ К. В общем случае вид функции $T_c(x)$ зависит от способа приготовления образцов (см. также ¹).

4. Сверхпроводящие свойства монокристаллов $\text{YBa}_2\text{Cu}_3\text{O}_x$ при $x < 6,5$ имеют нерегулярный характер и чрезвычайно чувствительны к предыстории образцов. Не исключено, что в этой области x сверхпроводимость $\text{YBa}_2\text{Cu}_3\text{O}_x$ является "несобственной" и обязана своим существованием неоднородному распределению кислорода.

В целом, учитывая всю совокупность имеющихся наблюдений, можно заключить, что пла-то на кривой $T_c(x)$ при ~ 60 К не следует интерпретировать в духе существования некоторой специфической фазы в термодинамическом смысле этого слова. Об этом же говорят и результаты рентгеновских измерений ⁴. Тем не менее, возможность получения при определенных условиях "ступенчатой" функции $T_c(x)$ свидетельствует о возникновении в области составов $6,5 \leq x \leq 6,85$ некоторой упорядоченности "квазимолекулярного" или кластерного типа в распределении атомов кислорода (см. также ^{3, 4}).

Литература

1. Cava R.J., Batlogg B., Chen C.H. et al. Nature, 1987, **329**, 423.
2. Быков А.Б., Демьянец Л.Н., Зибров И.П. и др. ДАН СССР, 1988, **300**, 611.
3. Симонов В.И., Мурадян Л.А., Молчанов В.Н., Ковьев Э.К. Кристаллография, 1988, **33**, 621.
4. Fleming R.M., Schneemeyer L.F., Gallagher P.K. et al. Phys. Rev. B, 1988, **37**, 392.

Институт кристаллографии
им. А.В.Шубникова
Академии наук СССР

Поступила в редакцию
22 сентября 1988 г.